

УДК 621.396.96 : 621.391.26

## ДИФФЕРЕНЦИРОВАНИЕ И ИНТЕГРИРОВАНИЕ РАДИОСИГНАЛОВ В СПИНОВЫХ ЭХО-ПРОЦЕССОРАХ

*М. М. Ковалевский, Э. О. Сааков, В. Б. Устинов*

Показано, что выбором надлежащей формы управляющего радиоимпульса в спиновом эхо-процессоре возможно осуществить  $n$ -кратное дифференцирование или интегрирование финитных радиосигналов. Простая модификация метода позволяет осуществить измерение моментов линии поглощения вещества.

В [1, 2] показана возможность создания на основе эффекта спинового эха многофункционального устройства обработки финитных радиосигналов с достаточно произвольной структурой — эхо-процессора. В [1–4] найдено, что в эхо-процессоре может быть осуществлена как автомоно- и взаимокорреляционная обработка финитных сигналов, так и сложение, перемножение и комплекс других операций над сигналами. В эхо-процессорах возможен спектральный анализ сигналов [2, 4] и проведение ряда алгебраических операций над спектрами сигналов [2]. Можно показать, что при воздействии на спиновую систему трех импульсных сигналов при некоторых условиях возможно дифференцирование и интегрирование сигналов.

Из [1, 2, 4] известно, что спектр сигнала стимулированного эха в малосигнальном приближении связан со спектрами сигналов соотношением (рис. 1)

$$S_{\text{эхо}}(\omega) \cong K g(\omega) S_1^*(\omega) S_2(\omega) S_3(\omega), \quad (1)$$

где  $K = \text{const}$ ,  $S_i(\omega)$  — спектры сигналов, действующих на спиновую систему,  $g(\omega)$  — функция, описывающая форму неоднородно-уширенной линии поглощения рабочего вещества. Выражение (1) согласуется при малых ( $\gamma H_i \tau_{ii} < \pi/6$ ) сигналах с соотношениями [5, 6], полученными для случая, когда на вещество действуют импульсы с прямоугольной огибающей. Здесь  $H_i$  и  $\tau_{ii}$  — амплитуда и длительность  $i$ -го импульса соответственно,  $i = 1, 2, 3$ ,  $\gamma$  — гиромагнитное отношение.

Рассмотрим идеализированный случай. Пусть первый («стартовый») сигнал является  $\delta$ -импульсом, а спектры второго и третьего сигналов существенно уже линии поглощения.

Тогда (1) преобразуется к виду

$$S_{\text{эхо}}(\omega) \cong K_1 S_2(\omega) S_3(\omega),$$

где  $K_1 = K g_{\max} S_\delta$  — постоянный коэффициент,  $S_\delta$  — спектр  $\delta$ -импульса.

Поскольку спектр эхо-сигнала выражен через произведение спектров, эхо-сигнал является сверткой второго и третьего сигналов:

$$m_{\text{эхо}}(t) \cong K_1 \int_{-\infty}^{\infty} R_2(\tau) R_3(t - \tau) d\tau, \quad (2)$$

где  $R_{2,3}(t)$  — функции, описывающие временную форму сигналов. Пусть

$$R_3(t) \cong (d^n/dt^n) \delta(t), \quad (3)$$

где  $n$  — произвольное целое число, тогда из (2) сразу следует

$$m_{\text{эхо}}(t) \cong K_1(d^n/dt^n)R_2(t). \quad (4)$$

Если  $R_3(t) = \theta(t)$  — функция Хевисайда, то

$$m_{\text{эхо}}(t) \cong K_1 \int_{-\infty}^t R_2(\tau) d\tau. \quad (5)$$

Повторение процедуры эквивалентно повторному интегрированию и т. д.

Таким образом, из (4) и (5) можно заключить, что эхо-процессор может быть использован как в качестве идеального интегратора [7], так и для вычисления производных сигнала произвольного порядка. Вид операции над сигналом определяется формой третьего, управляющего импульса. Смена типа управляющего импульса автоматически влечет изменение вида операции.

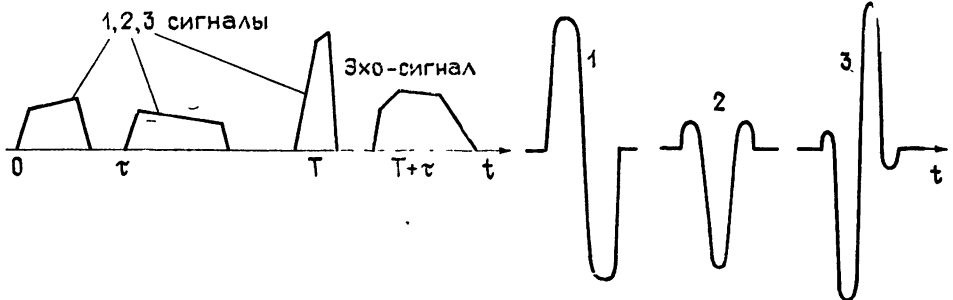


Рис. 1. Временная диаграмма работы эхо-процессора при воздействии трех сигналов.

Рис. 2.

В реальной ситуации соотношения (4) и (5) могут быть получены только приближенно. Точность дифференцирования будет определяться точностью формирования стартового  $\delta$ -импульса и точностью формирования управляющего импульса  $(d^n/dt^n)\delta(t)$ , определяющей и максимальный порядок дифференцирования  $n$ . Поскольку невозможно в экспериментах использовать управляющий импульс в виде функции  $\theta(t)$ , необходимо для интегрирования сигналов использовать в качестве управляющих импульсы с прямоугольной огибающей, длительность которых  $\tau_i \gg 1/\Delta\omega_n$ , где  $\Delta\omega_n$  — ширина линии поглощения. С другой стороны, чтобы релаксационные процессы в веществе неискажали форму сигнала эха [8], необходимо выполнение условия  $\tau_i \ll T_2$ , где  $T_2$  — время спин-спиновой релаксации вещества. Длительность  $\delta$ -импульса  $\tau_\delta$  должна быть настолько короткой, чтобы его спектр в пределах линии поглощения был примерно постоянным ( $\tau_\delta \ll 1/\Delta\omega_n$ ). Если линия поглощения настолько широка, что формирование  $\delta$ -импульса является затруднительным, для управления эхо-процессором вместо  $\delta$ -импульса можно использовать сложные широкополосные импульсные сигналы, например импульсы с линейной частотной модуляцией, имеющие спектр, близкий к прямоугольному в заданной полосе частот. На рис. 2 изображены огибающие управляющих радиоимпульсов для получения эха в виде первой, второй и третьей производных сигнала (изменение знака огибающей эквивалентно изменению фазы высокочастотного заполнения на  $\pi$ ).

Дифференцирование и интегрирование сигналов можно осуществить и при двухимпульсной схеме работы эхо-процессора [1], но форма управляющего сигнала при этом оказывается более сложной.

Аналогично может быть показана возможность использования эхо-процессора для измерения моментов линии поглощения, знание которых позволяет уточнить природу внутренних взаимодействий в веществе. Если первые два сигнала являются  $\delta$ -импульсами, а третий — управляющим, то спектр эхо-сигнала примет вид

$$S_{\text{эх}}(\omega) = K_2 g(\omega) S_3(\omega), \quad (6)$$

$K_2 = K S_\delta^2$ . Следовательно, эхо-сигнал может быть записан в форме свертки (2):

$$m_{\text{эх}}(t) = K_2 \int_{-\infty}^{\infty} \Gamma(\tau) R_3(t - \tau) d\tau,$$

где  $\Gamma(\tau) = (2\pi)^{-1} \int_{-\infty}^{\infty} g(\omega) \exp(j\omega\tau) d\omega$ .

Если управляющий сигнал выбрать в виде (3), то сигнал эха можно представить аналогично (4):

$$m_{\text{эх}}(t) = K_2 (d^n/dt^n) \Gamma(t). \quad (7)$$

Определяя момент  $n$ -го порядка линии поглощения (см., например, [9])

$$M_n = [(-1)^{n/2}/\Gamma(0)] (d^n/dt^n) \Gamma(t) |_{t=0},$$

можно заключить, что значение эхо-сигнала (7), взятое в момент времени  $t = T + \tau$  (рис. 1), пропорционально значению  $n$ -го момента линии поглощения.

Таким образом, с помощью спиновых эхо-процессоров можно осуществить операции многократного дифференцирования и интегрирования финитных радиосигналов, что может оказаться полезным при разработке специализированных аналоговых вычислительных устройств. Возможно также упрощение [9] методики измерения моментов линий поглощения веществ.

#### ЛИТЕРАТУРА

- Устинов В. Б., Рассветалов Л. А., Ковалевский М. М. — Изв. Ленинградского электротехнического института им. В. И. Ульянова (Ленина), 1974, вып. 135, с. 10.
- Касаткин А. В., Протодьяконов А. М., Рассветалов Л. А., Сааков Э. О., Устинов В. Б. — Техника средств связи. Сер. Техника радиосвязи, 1977, вып. 3, с. 110.
- Mims W. B. — Ргос. IEEE, 1963, 51, р. 1127.
- Соколов С. Л., Иванов Ю. В. — Радиотехника и электроника, 1979, 24, с. 99.
- Ferguson S., Proctor W. G. — J. Appl. Phys., 1955, 26, р. 170.
- Померанцев Н. М. — УФН, 1958, 65, с. 87.
- Мэзон С., Циммерман Г. Электронные цепи, сигналы и системы. — М.: ИЛ, 1963.
- Евстигнеев Ю. Ф., Ковалевский М. М. — Вопросы обработки сигналов. Межвузовский сб., 1978, вып. 2, с. 140.
- Лундин А. Г., Федин Э. И. Ядерный магнитный резонанс. — Новосибирск: Наука, 1980.

Новгородский политехнический  
институт

Поступила в редакцию  
23 июня 1981 г.

#### DIFFERENTIATION AND INTEGRATION OF RADIO SIGNALS IN SPIN ECHO PROCESSORS

*M. M. Kovalevskij, Eh. O. Saakov, V. B. Ustinov*

It is shown that by choosing the proper form of the controlled radio pulse in a spin echo processor one may perform  $n$ -multiple differentiation or integration of finite radio signals. A simple modification of the method permits to measure moments of the matter absorption line.